

ЭКСПЕРИМЕНТАЛЬНЫЕ
СТАТЬИ

УДК 581.1

ВЛИЯНИЕ ПОВЫШЕННОЙ КОНЦЕНТРАЦИИ СО₂ И ТЕМПЕРАТУРЫ
НА РАСТЕНИЯ С РАЗНЫМ ТИПОМ ФОТОСИНТЕЗА:
КИНОА (C₃) И АМАРАНТ (C₄)

© 2023 г. З. Ф. Рахманкулова^a, *, Е. В. Шуйская^a, М. Ю. Прокофьева^a,
Л. Т. Саидова^a, П. Ю. Воронин^a

^a Федеральное государственное бюджетное учреждение науки Институт физиологии растений
им. К.А. Тимирязева Российской академии наук, Москва, Россия

*e-mail: zulfirar@mail.ru

Поступила в редакцию 02.05.2023 г.

После доработки 10.05.2023 г.

Принята к публикации 11.05.2023 г.

Исследовали термоустойчивость растений с разным типом фотосинтеза *Chenopodium quinoa* Willd. (C₃) и *Amaranthus retroflexus* L. (C₄-НАД) к кратковременной повышенной температуре (35°C, eT) при естественной (400 ppm, aCO₂) и повышенной (800 ppm, eCO₂) концентрации CO₂. Анализировали ростовые параметры, содержание воды, пролина, МДА, параметры CO₂/H₂O газообмена, функционирование ФС I и ФС II, содержание ключевых фотосинтетических (РБФК/O, ФЕПк) и фотодыхательных (ГДК) ферментов. В контрольных условиях у растений C₄-вида, по сравнению с C₃-видом, показаны более высокие значения прироста сухой биомассы, интенсивности видимого фотосинтеза, транспирации, активности ФС I и более низкое содержание пролина. Фотосинтетический и устьичный аппарат обоих видов был чувствителен к eT, что проявлялось в снижении интенсивности видимого фотосинтеза и транспирации. Кроме того, у C₃-вида наблюдалось подавление световых реакций (ФС II) и интенсивности фотодыхания (по ГДК), а у C₄-вида – увеличение содержания пролина. В условиях eCO₂ у C₃-вида наблюдалось снижение интенсивности фотодыхания, а у C₄-вида окислительный стресс (2-кратное увеличение содержания МДА) сопровождался снижением интенсивности видимого фотосинтеза, транспирации и возрастанием интенсивности темнового митохондриального дыхания. Смягчающий эффект eCO₂ на термоустойчивость данных C₃- и C₄-растений не установлен. При совместном действии eCO₂ и eT у обоих видов имели место окислительный стресс, снижение эффективности ФС II и видимого фотосинтеза, а также активация темнового дыхания. Однако наблюдались и отличия: у C₃-вида окислительный стресс сопровождался снижением прироста сухой биомассы и содержания воды в тканях, а также подавлением фотодыхания, а у C₄-вида – снижением интенсивности транспирации и возрастанием содержания ФЕПк. Снижение WUE при совместном действии eCO₂ и eT у растений C₄-вида было менее значительным, чем у C₃-вида. Обсуждается разная реакция растений киноа (C₃) и амаранта (C₄) на совместное действие климатических факторов: повышенной температуры и концентрации CO₂.

Ключевые слова: *Amaranthus retroflexus*, *Chenopodium quinoa*, амарант, киноа, окислительный и тепловой стресс, РБФК/O, ФЕПк, ГДК, фотосистемы I и II, WUE (water use efficiency)

DOI: 10.31857/S0015330323600353, **EDN:** ICAOVY

ВВЕДЕНИЕ

В ближайшие годы прогнозируется возрастание частоты экстремальных явлений и климатических колебаний, что окажет серьезное влияние на стабильность и безопасность производства продуктов питания [1]. Увеличение атмосферной концентрации CO₂ (eCO₂, elevated CO₂) и потепление (eT, elevated temperature) являются значимыми проявлениями изменения климата и факторами, определяющими продуктивность ценных пищевых и кормовых культур [2, 3].

Наблюдаемый стремительный рост атмосферной концентрации CO₂ по-разному влияет на интенсивность фотосинтеза, биопродуктивность и устойчивость C₃- и C₄-растений [4, 5]. Долгое время считалось, что C₃-фотосинтез более чувствителен к изменениям концентрации CO₂ в атмосфере и что ее увеличение оказывает положительное влияние на интенсивность фотосинтеза и продуктивность C₃-видов посредством активации карбоксилирования в цикле Кальвина и повышения эффективности использования воды благодаря снижению устьичной проводимости в

растениях [6]. Однако позже было показано, что увеличение биомассы C₃-растений может быть лишь кратковременным эффектом, который течет в течение более длительного периода времени [4, 7] и может сопровождаться снижением пищевой ценности кормовых культур из-за подавления фотодыхания высоким уровнем CO₂ за счет снижения оксигеназной функции рибулозо-1,5-бисфосфаткарбоксилазы/оксигеназы (РБФК/О), что может отрицательно сказываться на азотном обмене растений [8, 9]. C₄-растения, благодаря наличию углерод-концентрирующего механизма (УКМ), ранее рассматривались как менее зависимые от концентрации CO₂ в окружающей среде, чем C₃-виды, и предполагалось, что они будут меньше реагировать на eCO₂ [6, 7]. Эта концепция глубоко укоренилась в климатических и экологических моделях воздействия меняющегося климата на растения [7]. Однако за последние годы появилось много противоречивой информации по этому вопросу [2, 3]. Было показано, что у C₄-видов eCO₂ более эффективно стимулирует фотосинтетический метаболизм [10] и накопление биомассы, связанное с повышением эффективности использования воды (WUE) [11]. В то же время есть информация, что высокие и сверхвысокие концентрации CO₂ приводят к снижению интенсивности фотосинтеза как у C₃-, так и у C₄-видов [9, 12]. Таким образом, вопрос о влиянии eCO₂ на растения с разным типом фотосинтеза в настоящее время остается открытым.

Известно, что условия, которые сопровождают повышение концентрации CO₂ в атмосфере, в частности повышенные температуры, могут стать лимитирующими факторами для роста растений [13]. Исследования совместного комплексного воздействия нескольких климатических факторов представляют особый интерес, поскольку они вызывают более сложные ответные реакции растений, по сравнению с действием одиночных стрессов [14]. Было установлено, что способность к температурной акклиматации фотосинтеза у C₃- и C₄-видов различается [15]. На C₃-виде киноа показано, что реакция растений на высокие температуры разнообразна и зависит от генотипа и фенологической стадии [16]. На C₃-видах, пшенице и рисе, высокие температуры снижали урожай зерна, причем eCO₂ не компенсировал это негативное воздействие, что в результате приводило к снижению урожая до 35% [17]. У C₃-видов основными причинами снижения фотосинтеза при совместном действии eCO₂ и eT являются тепловая лабильность РБФК/О-активазы и снижение фотосинтетического электронного транспорта [18]. В то же время установлено, что eCO₂ может положительно влиять на термоустойчивость некоторых C₃-видов, и у них наблюдается активация

чувствительных к повышенной температуре фотосинтетических параметров (видимый фотосинтез, устьичная проводимость и эффективность ФС II) [19]. Предполагается, что смягчающий эффект eCO₂ при комплексном воздействии климатических факторов у C₃-растений связан с активацией антиоксидантной защитной системы, снижением фотодыхания [20], уменьшением отрицательного влияния стрессовых факторов на метаболизм сахаров и аминокислот [21], а также с положительным влиянием eCO₂ на интенсивность карбоксилирования и водный баланс растений [2, 22]. Таким образом, в настоящее время однозначно сказать о влиянии eCO₂ на термоустойчивость ростовых и фотосинтетических параметров C₃-растений нельзя [22].

C₄-растения демонстрируют другую, по сравнению с C₃-видами, и достаточно противоречивую картину биохимических ограничений при действии повышенных температур. Это объясняется сложностью биохимической модели C₄-фотосинтеза. Можно сказать, что фотосинтетический C₄-УКМ, является адаптацией C₃-пути к низкой концентрации CO₂, которая за счет снижения оксигеназной функции РБФК/О ограничивает фотодыхание, способствуя повышению эффективности фотосинтеза и минимизируя потери воды в жарких и засушливых условиях [23]. На примере C₄-трав установлено, что активация биосинтеза белков и метаболитов в результате усиления метаболических процессов при eCO₂ может способствовать улучшению термостойкости растений, связанной с усиленiem дыхательных метаболических путей в условиях теплового стресса [24]. Действие eCO₂ на C₄-НАД-растения способствует повышению клеточной устойчивости к тепловому шоку, стимулирует рост растений [25]. С другой стороны, показано, что при eCO₂ у C₄-растений наблюдается снижение чувствительных к повышенной температуре фотосинтетических параметров (видимый фотосинтез, устьичная проводимость и эффективность ФС II) [19]. Предполагается, что неоднозначность ответов на совместное действие eCO₂ и eT у C₄-видов связана с видоспецифичностью [26] и с противоположным действием этих факторов на транспирацию [27]. Итак, на сегодняшний день данные о влиянии eCO₂ на механизмы термоустойчивости растений с разным типом фотосинтетического метаболизма противоречивы и фрагментарны [3, 10, 11, 22]. В то же время исследования комбинированного действия eCO₂ и eT на отдельные этапы C₃- и C₄-фотосинтеза важны для создания реалистичной картины влияния изменяющегося климата на растения, необходимой для прогнозирования продуктивности растений [4, 10, 11, 22].

В данной работе исследовали однолетние окультуренные растения одного семейства Ама-

рантовые с разным типом фотосинтеза – киноа (C_3 , подсем. Chenopodiaceae) и амарант (C_4 , Amaranthaceae). Они относятся к группе культур, известных как псевдозерновые. Киноа (*Chenopodium quinoa* Willd.) – стрессоустойчивое растение, из-за высокой питательной ценности и адаптивности было предложено в качестве культуры, используемой для повышения продовольственной безопасности в условиях климатических изменений [1, 16]. Амарант запрокинутый (*Amaranthus retroflexus* L.) – теплолюбивый, устойчивый к засухе вид, произрастающий почти во всех районах России. В настоящее время амарант используется повсеместно: выведены кормовые, декоративные и овощные сорта растения [28, 29].

Целью данной работы явилось исследование влияния повышенной концентрации CO_2 (800 ppm) на термоустойчивость растений с разным типом фотосинтеза: *Chenopodium quinoa* (C_3) и *Amaranthus retroflexus* (C_4 -НАД) к кратковременной повышенной температуре (35°C).

МАТЕРИАЛЫ И МЕТОДЫ

Объект исследования и условия выращивания. Семена *Chenopodium quinoa* Willd., сорт “Vakhdat”, и *Amaranthus retroflexus* L. (интродуцированный вид) получены из Центра генетических ресурсов Таджикской академии сельскохозяйственных наук (CGR TAAS).

Семена киноа проращивали в дистиллированной воде и 3–4-дневные проростки высаживали на перлит, пропитанный 50% раствором Хогланда. Семена *Amaranthus retroflexus* проращивали в перлите без предварительного замачивания. Растения выращивали в течение 30 дней под люминесцентными лампами (плотность потоков квантов ФАР 200 мкмоль/($\text{m}^2\text{ c}$)), при 16-часовом фотопериоде, в двух раздельных камерах при естественной (400 ppm, a CO_2) и повышенной (800 ppm, e CO_2) концентрации CO_2 при температуре 25°C. Затем растения в обеих камерах подвергали 4-дневному воздействию повышенной температуры (35°C, eT).

Определение сухой биомассы, содержания воды, пролина и МДА. Для определения сухой биомассы листья высушивали при 80°C до постоянной массы. Содержание воды (W) рассчитывали по формуле и выражали в г $\text{H}_2\text{O}/\text{г сухой массы}$:

$$W = (FW - DW)/DW, \quad (1)$$

где FW – сырья биомасса, DW – сухая биомасса.

Содержание свободного пролина определяли с помощью кислого нингидринового реагента по методу Bates [30] с модификациями. В качестве анализируемых экстрактов использовали водные вытяжки высущенных и растертых листьев. Результаты рассчитывали на 1 г сухой массы.

Скорость перекисного окисления липидов оценивали спектрофотометрически по реакции с тиобарбитуровой кислотой (ТБК), основанной на взаимодействии ТБК с малоновым диальдегидом (МДА). Содержание МДА определяли по Heath и Packer [31]. Навеску листьев (0.5 г) растирали в ступке с 2 мл 0.5% трихлоруксусной кислоты (ТХУ). Гомогенат центрифугировали при 10000 g в течение 10 мин и к 0.3 мл супернатанта добавляли 1.2 мл 0.5% ТБК в 20% ТХУ. Смесь нагревали на кипящей водяной бане в течение 30 мин, затем быстро охлаждали во льду и центрифугировали при 10000 g в течение 10 мин. После этого измеряли оптическую плотность проб при 532 и 600 нм (Multiskan Sky Spectrophotometer, “Thermo Scientific”, США). Концентрацию МДА рассчитывали после вычитания неспецифического поглощения при 600 нм ($\epsilon = 1.56 \times 10^5 \text{ M}^{-1} \text{ см}^{-1}$) и выражали в нмоль/г сырой массы.

Измерение $\text{CO}_2/\text{H}_2\text{O}$ газообмена. Для определения интенсивности видимого фотосинтеза (A) и транспирации (E) лист помещали в термостатируемую при комнатной температуре листовую камеру и освещали оптоволоконным световодом от осветителя (KL 1500 LCD, “Shott”, Германия) с галогеновой лампой (150 Вт, “Philips”, Нидерланды) с интенсивностью ФАР в поле объекта 2000 мкмоль/($\text{m}^2\text{ c}$). Стационарный $\text{CO}_2/\text{H}_2\text{O}$ газообмен листа измеряли с помощью одноканального ИК-газоанализатора (LI-820, “LICOR”, США) в открытой схеме. Транспирацию листа рассчитывали на основании разности влажности газа на входе и выходе из листовой камеры. В данной установке в опорном газовом потоке на входе в листовую камеру поддерживали известную постоянную влажность с помощью увлажнителя LI-610 (“LICOR”, США). Для определения влажности на выходе из листовой камеры использовали психрометрический датчик HMP50 (“Vaisala INTERCAP”, Финляндия). Эффективность использования воды (WUE) рассчитывали, как отношение скорости видимого фотосинтеза к транспирации (A/E). Интенсивность темнового дыхания (Rd) оценивали через 20 мин после выключения света.

Измерение функционирования фотосистем I и II. Изменение окислительно-восстановительного потенциала P700 измеряли путем мониторинга оптической плотности листьев при 820 нм с использованием двухволевой системы импульсной модуляции ED-P700DW (“Heinz-Walz, Effeltrich”, Германия) в сочетании с PAM-101 (“Heinz-Walz”, Германия). Кинетика окисления P700 измерялась при освещении дальним красным светом (720 нм, 17.2 Вт/ m^2). Максимальное окисление P700 определяли с использованием ксеноновой газоразрядной лампы (50 мс, 1500 Вт/ m^2 , “Heinz-Walz”, Германия) в присутствии дальнего красного света.

Определение квантового выхода флуоресценции ФС II адаптированного к темноте (20 мин) фрагмента листа осуществляли с помощью РАМ-флуориметра (PAM-101, "Heinz-Walz", Германия). Измеряли темновой максимальный квантовый выход флуоресценции ФС II (F_v/F_m). Измерение проводили с досветкой образца слабым модулированным потоком красного света, которое осуществлялось АЦП (PDA-100, "Walz", Германия), преобразующим первичный сигнал от PAM-101 на компьютер со стандартным программным интерфейсом. Расчет показателей проводили на основании текущих значений минимальной (F_0) и максимальной (F_m) флуоресценции адаптированного к темноте листа по формуле:

$$F_v/F_m = (F_m - F_0)/F_m. \quad (2)$$

Максимальную квантовую эффективность (F'_v/F'_m) и эффективный квантовый выход ($\Phi_{\text{ФСII}}$) фотохимии ФС II при заданной интенсивности света рассчитывали по формулам:

$$F'_v/F'_m = (F'_m - F'_0)/F'_m, \quad (3)$$

$$\Phi_{\text{ФСII}} = F'_q/F'_m, \quad (4)$$

где F'_q – photoхимическое тушение флуоресценции открытым реакционным центром ФС II, а F'_0 и F'_m – минимальная и максимальная флуоресценция хлорофилла после световой адаптации.

Нефотохимическое тушение флуоресценции хлорофилла (NPQ) рассчитывали по формуле:

$$\text{NPQ} = (F_m - F'_m)/F'_m. \quad (5)$$

Определение содержания белков рибулозо-1,5-бисfosфаткарбоксилазы/оксигеназы (РБФК/О), фосфоенолпирваткарбоксилазы (ФЕПк) и глициндинкарбоксилазы (ГДК) проводили с помощью вестерн-блоттинга. Тотальный белок выделяли из листьев (0.5 г) экстракционным буфером (50 мМ Трис-HCl (рН 8.0), 10 мМ MgCl₂, 0.3 мМ ЭДТА, 2% поливинилпирролидон и 5 мМ дитиотреитол). Содержание белка определяли по методу Бредфорд, используя бычий сывороточный альбумин ("Sigma-Aldrich", США) в качестве стандарта.

Вестерн блоттинг. Анализ содержания белков РБФК/О, ФЕПк и ГДК проводили с помощью иммуноферментного анализа, как было описано ранее [32] с использованием коммерческих поликлональных антител против белков большой субъединицы (L) (БС) РБФК/О (RbcL, AS03037, "Agrisera", Швеция), ФЕПк (PEPC, AS09458, "Agrisera", Швеция) и ГДК (GLDP, AS204370, "Agrisera", Швеция). Разделение суммарных белков (5–15 мкг тотального белка в слоте) проводили с помощью 10% денатурирующего гель-электрофореза (SDS-PAGE). После проведения электрофореза белки переносили на нитроцеллюлозную

мембрану ("Amersham, GE Healthcare", Великобритания), используя прибор для мокрого блоттинга ("BioRad", США) согласно стандартному протоколу. Анализ взаимодействия антител с антигеном проводили обработкой вторичными антителами (anti-rabbit IgG horse radish antibodies (Agrisera, AS09 602)) с помощью смеси люминола и кумаровой кислоты в присутствии перекиси водорода. Хемилюминесцентный сигнал на мембранных регистрировали с помощью пленки Retina XBE (Германия). Интенсивность полос в вестерн-блоттинге оценивали с помощью программы ImageJ 1.37v (США) и выражали относительно среднего уровня ($n = 3$) для контрольных растений, который был взят за 100%. Анализ проводили не менее 3 раз.

Статистический анализ. Во всех экспериментах было пять биологических повторностей. Для корреляционного и факторного (ANOVA) анализа использовали программу SigmaPlot 12.0. На графиках приведены средние арифметические значения полученных величин и их стандартные ошибки. Различия считались достоверными при $P < 0.05$ (тест Тьюки). Для многофакторного анализа методом главных компонент (PCA) было использовано программное обеспечение R (версия 3.6.1).

РЕЗУЛЬТАТЫ

Ростовые параметры, содержание воды, пролина и малонового диальдегида

34-дневные растения *C. quinoa* (C₃) и *A. retroflexus* (C₄-НАД) отличались по продуктивности и устойчивости. Сухая биомасса растений *A. retroflexus*, выращенных в контролльном варианте, была в 1.5 раза больше контрольных растений *C. quinoa*. Отдельное воздействие еТ и еCO₂ не вызывало изменений в росте растений обоих видов, а совместное действие еCO₂ и еТ снижало биомассу только у *C. quinoa* на 28% (рис. 1а).

При совместном действии факторов (eCO₂ и eT) исследуемые растения отличались также по содержанию воды: у *C. quinoa* наблюдалось его снижение на 42%, а у *A. retroflexus* возрастание на 52%, по сравнению с контролем (рис. 1б).

Содержание пролина при всех видах воздействия у *C. quinoa* снижалось на 30–50%, а у *A. retroflexus* повышалось при температурном воздействии и совместном действии факторов (eCO₂ и eT) в 3 раза, по сравнению с контролем (рис. 1в).

Содержание МДА, которое является показателем окислительного стресса, у *C. quinoa* возрастило при совместном действии eCO₂ и eT на 34%, а у *A. retroflexus* – в 2 раза при действии eCO₂ и на 61% при совместном действии факторов (eCO₂ и eT) (рис. 1г).

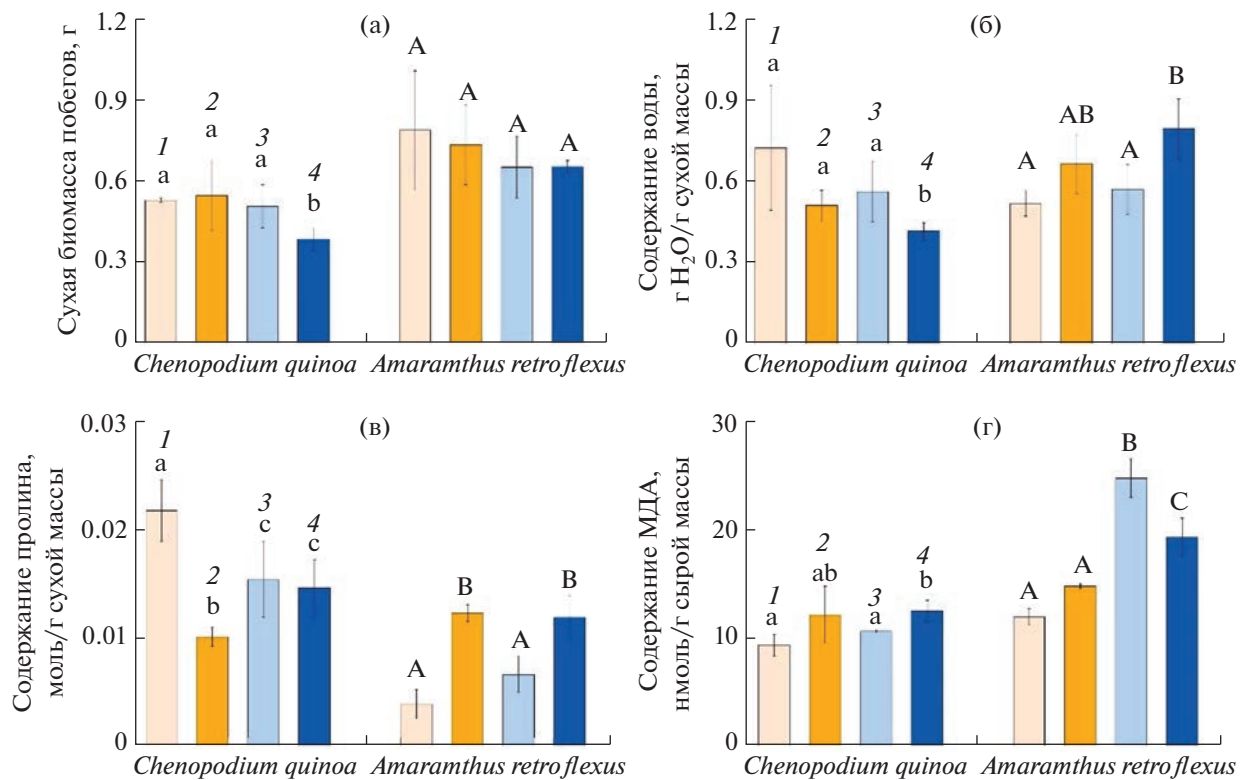


Рис. 1. Накопление сухой биомассы (а), содержание воды (б), пролина (в) и МДА (г) у растений *Chenopodium quinoa* и *Amaranthus retroflexus*, выращенных при разных концентрациях CO₂ и кратковременном действии повышенной температуры (35°C, еТ). (1) Контрольные растения, выращенные при естественной (400 ppm) концентрации CO₂ (аCO₂); (2) растения, выращенные при аCO₂ и 4-дневном воздействии еТ; (3) растения, выращенные при повышенной (800 ppm) концентрации CO₂ (еCO₂); (4) растения, выращенные при еCO₂ и 4-дневном воздействии еТ (еCO₂ и еТ). Разными латинскими буквами отмечены достоверные различия на уровне $P < 0.05$.

Интенсивность параметров CO₂/H₂O газообмена

Интенсивность видимого фотосинтеза (A) в контроле была более значительной у растений *A. retroflexus* (на 28%) по сравнению с растениями *C. quinoa*. Интенсивность видимого фотосинтеза *C. quinoa* снижалась при действии повышенной температуры как при обычном, так и при повышенном уровне CO₂ на 28 и 18%, соответственно, а у *A. retroflexus* при всех видах воздействий в среднем на 33% по сравнению с контролем (рис. 2а).

У обоих видов *C. quinoa* и *A. retroflexus* значения интенсивности транспирации (E) при повышении температуры снижались на 23 и 45% соответственно. Кроме того, снижение E на 20%, по сравнению с контролем, происходило у растений *A. retroflexus* при действии еCO₂ и совместном действии факторов (еCO₂ и еТ) (рис. 2б).

Интенсивность темнового митохондриального дыхания (Rd) у обоих видов возрасала при действии повышенной температуры и повышенной концентрации CO₂: на 36% у *C. quinoa* и на 83% у *A. retroflexus*. У *A. retroflexus* Rd также увеличивалась на 39% при действии повышенной темпера-

туры и на 86% в условиях повышенной концентрации CO₂ по сравнению с контролем (рис. 2в).

Эффективность использования воды (WUE) у обоих видов снижалась при совместном действии факторов (еCO₂ и еТ): на 26% у *C. quinoa* и на 13% у *A. retroflexus* по сравнению с контролем. У *A. retroflexus* происходило снижение WUE и при действии повышенного уровня CO₂ при обычной температуре на 13% по сравнению с контролем (рис. 2г).

Активность ФС I и эффективность функционирования ФС II

Эффективность функционирования ФС I и циклического транспорта электронов была более значительной у растений *A. retroflexus*. При всех вариантах воздействий данный параметр достоверно не изменялся у обоих видов (рис. 3а).

Эффективность максимального квантового выхода фотосинтеза ФС II (F_v/F_m) у растений обоих видов снижалась при совместном действии еCO₂ и еТ в среднем на 20%. У *C. quinoa* она также снижалась на 20% при действии только еТ (рис. 3б).

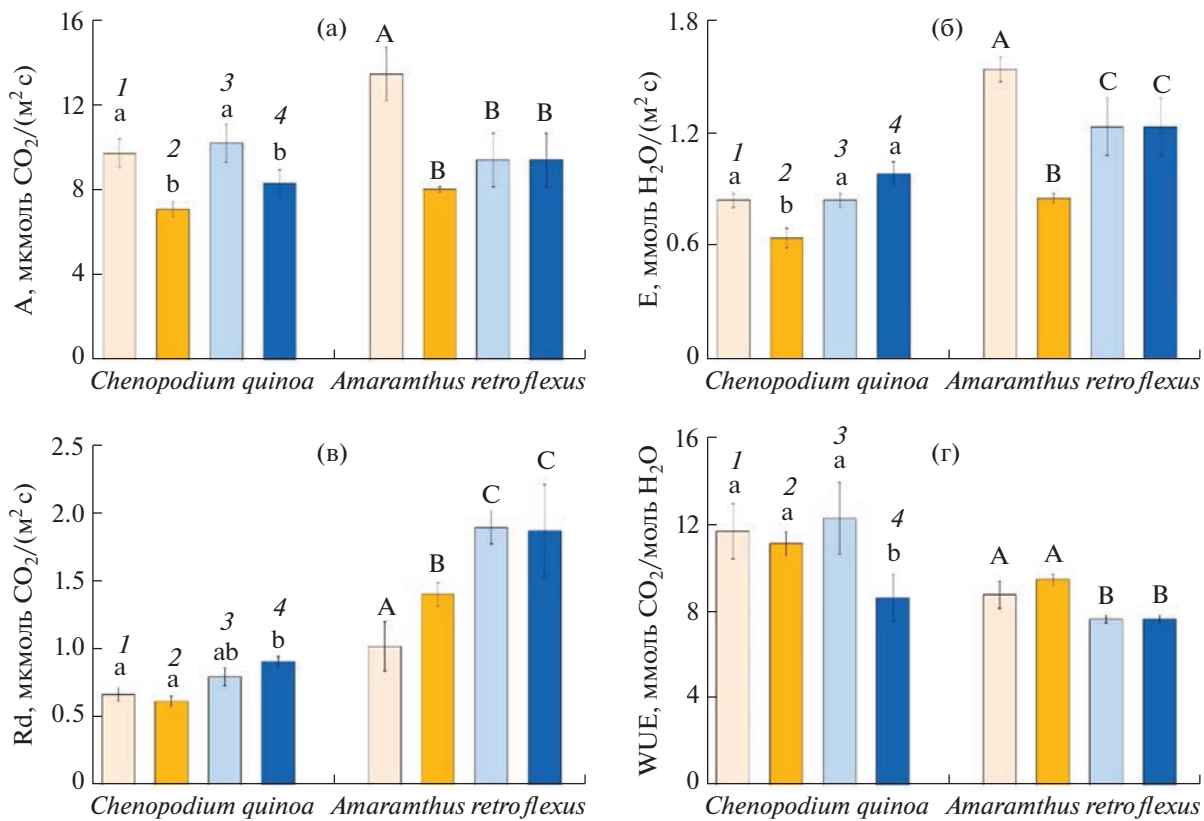


Рис. 2. Интенсивность видимого фотосинтеза (а), транспирации (б), темнового дыхания (в) и эффективность использования воды (г) у растений *Chenopodium quinoa* и *Amaranthus retroflexus*, выращенных при разных концентрациях СО₂ и кратковременном действии повышенной температуры (35°C, еТ). (1) Контрольные растения, выращенные при естественной (400 ppm) концентрации СО₂ (aCO₂); (2) растения, выращенные при aCO₂ и 4-дневном воздействии еТ; (3) растения, выращенные при повышенной (800 ppm) концентрации СО₂ (eCO₂); (4) растения, выращенные при eCO₂ и 4-дневном воздействии еТ (eCO₂ и еТ). Разными латинскими буквами отмечены достоверные различия на уровне $P < 0.05$.

Снижение F_v/F_m у обоих видов при совместном действии еCO₂ и еТ и у *C. quinoa* при еТ сопровождалось аналогичным снижением на ~20% максимальной квантовой эффективности фотохимии ФС II при заданной интенсивности света ($Y = F'_v / F'_m$) и на ~14% эффективного квантового выхода фотохимии ФС II при заданной интенсивности света ($\Phi_{ФСII} (F'_q / F'_m)$) (рис. 3в, г). В контрольных условиях нефотохимическое тушение (NPQ) было более значительным (почти в 3 раза) у растений *A. retroflexus* по сравнению с растениями *C. quinoa*, у которых при действии еТ и при совместном действии еCO₂ и еТ NPQ снижалось на 38% (рис. 3д).

Содержание фотосинтетических ферментов

Содержание фермента РБФК/О достоверно не изменялось в результате воздействия всех вариантов факторов ни у растений *C. quinoa*, ни у *A. retroflexus* (рис. 4а).

Содержание фермента ФЕПк было снижено только у растений *C. quinoa*, выращенных при действии еCO₂ и при совместном действии еCO₂ и еТ на 44 и 51% по сравнению с контролем соответственно. У растений *A. retroflexus*, выращенных при совместном действии еCO₂ и еТ, наблюдалось возрастание содержания ФЕПк на 20% (рис. 4в).

Содержание ГДК снижалось в среднем в 2 раза только у растений *C. quinoa* при всех исследованных вариантах воздействия (рис. 4г).

Многофакторный анализ физиологических и биохимических параметров

Для оценки степени изменений характеристик фотосинтетического аппарата и механизмов устойчивости в условиях повышенной температуры и концентрации СО₂ был проведен многофакторный анализ методом главных компонент (PCA) биохимических и физиологических параметров *C. quinoa* (C₃) и *A. retroflexus* (C₄). На рис. 5а видно, что у растений *C. quinoa* первой основной компо-

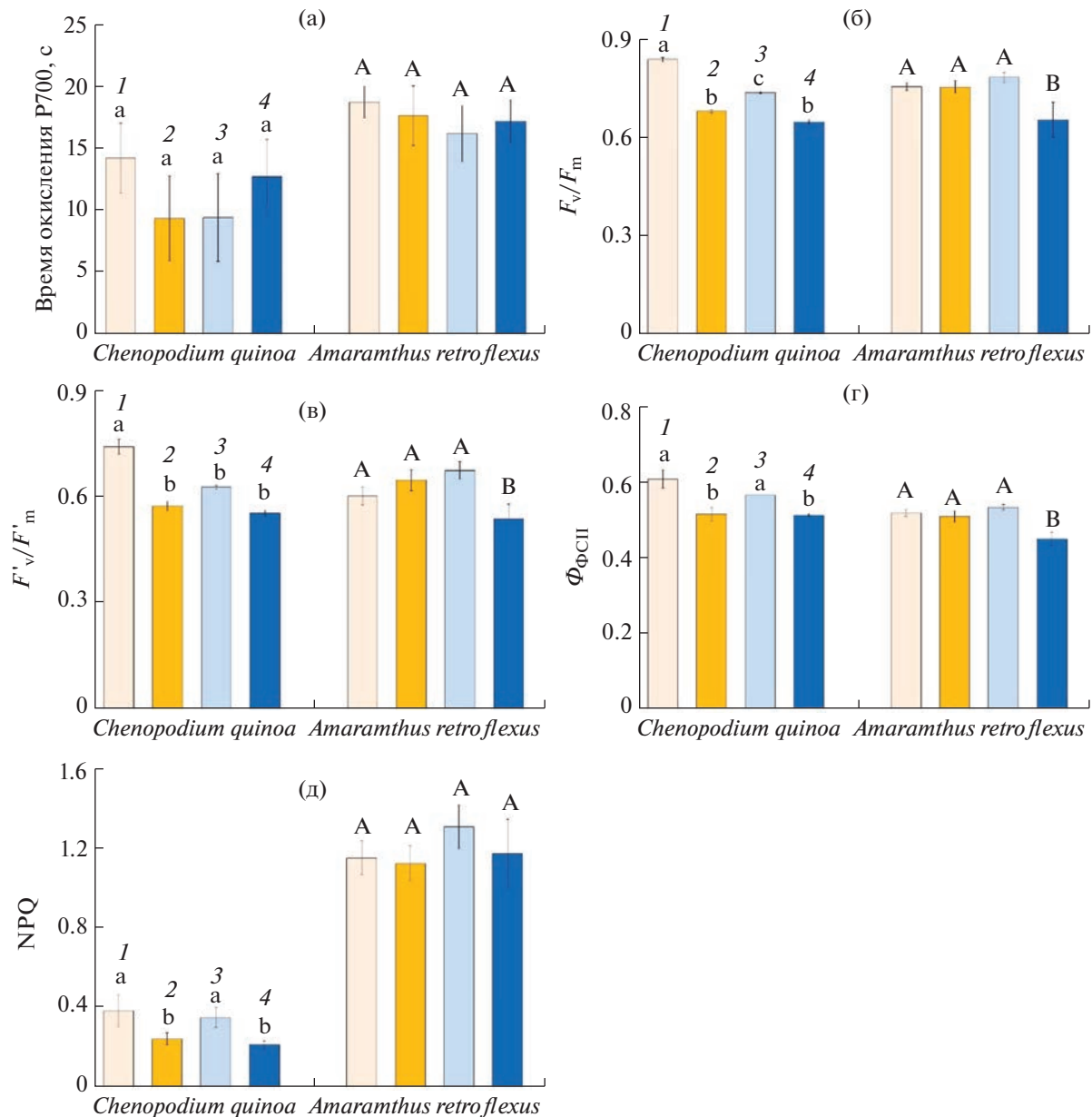


Рис. 3. Фотосинтетические параметры у растений *Chenopodium quinoa* и *Amaranthus retroflexus*, выращенных при разных концентрациях CO₂ и кратковременном действии повышенной температуры (35°C, еТ). (а) Активность циклического транспорта электронов ФС I; (б) максимальный квантовый выход флуоресценции ФС II (F_v/F_m); (в) максимальная квантовая эффективность фотохимии ФС II при заданной интенсивности света (F'_v/F'_m); (г) эффективный квантовый выход фотохимии ФС II при заданной интенсивности света ($\Phi_{\text{ФСII}}$); (д) нефотохимическое тушение флуоресценции ФС II (NPQ). (1) Контрольные растения, выращенные при естественной (400 ppm) концентрации CO₂; (2) растения, выращенные при аCO₂ и 4-дневном воздействии еТ; (3) растения, выращенные при повышенной (800 ppm) концентрации CO₂ (eCO₂); (4) растения, выращенные при еCO₂ и 4-дневном воздействии еТ (eCO₂ и еТ). Разными латинскими буквами отмечены достоверные различия на уровне $P < 0.05$.

нентой (PC1) четко отделяются от контроля два варианта с повышенной температурой: еТ и совместным действием еCO₂ и еТ. Разделение составляет 41.15% от общей вариации. Основными элементами PC1 были характеристики функционирования ФС II (табл. 1). Полученные результаты свидетельствуют о значительном воздействии

повышенной температуры на данный C₃-вид. Вторая главная компонента (PC2) разделила контроль и вариант еCO₂ (рис. 5а). Разделение составило 18.63% от общей вариации. В данном случае основными значимыми параметрами явились содержание ферментов ГДК и ФЕПк (ключевых ферментов фотодыхательного гликолатного цик-

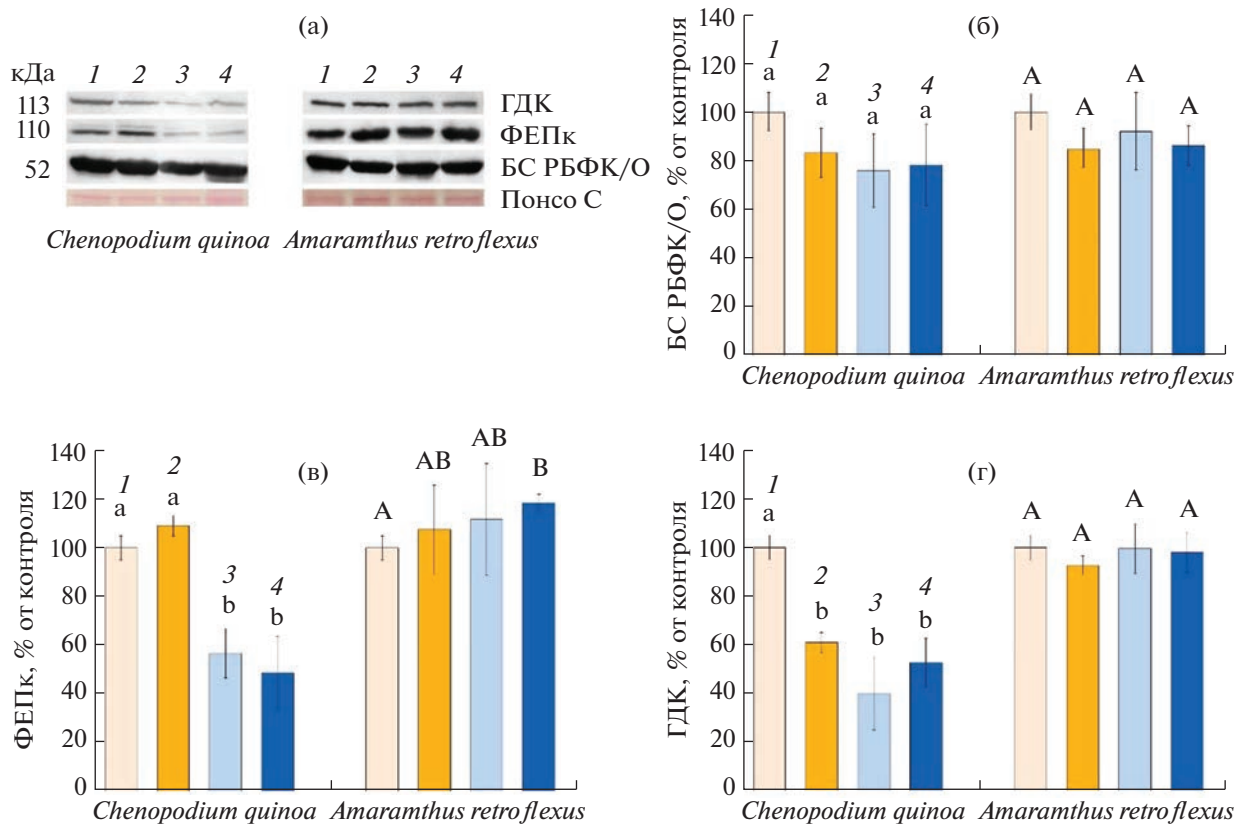


Рис. 4. Результаты вестерн-блоттинга белков БС РБФК/О (большая субъединица) (а, б), ФЕПк (а, в) и ГДК (а, г) в листьях растений *Chenopodium quinoa* и *Amaranthus retroflexus*, выращенных при разных концентрациях СО₂ и кратковременном действии повышенной температуры (35°C, еТ). (1) Контрольные растения, выращенные при естественной (400 ppm) концентрации СО₂ (aCO₂); (2) растения, выращенные при aCO₂ и 4-дневном воздействии еТ; (3) растения, выращенные при повышенной (800 ppm) концентрации СО₂ (eCO₂); (4) растения, выращенные при eCO₂ и 4-дневном воздействии еТ (eCO₂ + еТ). Разными латинскими буквами отмечены достоверные различия на уровне $P < 0.05$.

ла и УМК), а также интенсивность транспирации (табл. 1). Первых двух РС компонент достаточно для объяснения 59.78% изменений от общей вариации. На рисунке 5б приведены результаты PCA-анализа данных C₄-вида *A. retroflexus*. У данного вида первой основной компонентой (PC1) разделяются только варианты контроль и совместное действие факторов (eCO₂ и еТ). Разделение составляет 30.02% от общей вариации. Основными элементами PC1 были характеристики функционирования ФС II и содержание ФЕПк (табл. 1).

ОБСУЖДЕНИЕ

В контролльных условиях исследуемые растения *C. quinoa* (C₃) и *A. retroflexus* (C₄) отличались по ряду биохимических и физиологических параметров: у C₄-вида, по сравнению с C₃-видом, были более высокие значения прироста сухой биомассы, интенсивности видимого фотосинтеза (A) и транспирации (E), активности ФС I и содержания пролина (рис. 1–3). Эти данные свидетельствуют о более эффективном функционировании фотоп-

синтетического аппарата и УМК у *A. retroflexus*, которые обеспечили более значительный прирост биомассы, по сравнению с C₃-видом. Низкие значения WUE в контролльных условиях у *A. retroflexus* можно объяснить видоспецифичностью данного параметра [3]. Более высокие значения активности ФС I у C₄-вида свидетельствуют о более интенсивном циклическом транспорте электронов ФС I. Как известно, две дополнительные молекулы АТФ требуются для каждой молекулы СО₂, фиксированной в результате действия C₄-цикла [33, 34]. Полученные нами данные согласуются с результатами других авторов [3].

Увеличение температуры влияет почти на все биологические процессы в растении, включая морфогенез, текучесть мембранных липидов и их состав, камбимальную активность [4]. Одним из наиболее термочувствительных процессов растений считается фотосинтез. На C₃-видах показано, что термолабильными лимитирующими этапами фотосинтеза являются световые реакции (компоненты ФС II) и темновые реакции (на уровне РБФК/О-активазы) [35, 36]. При высокой темпе-

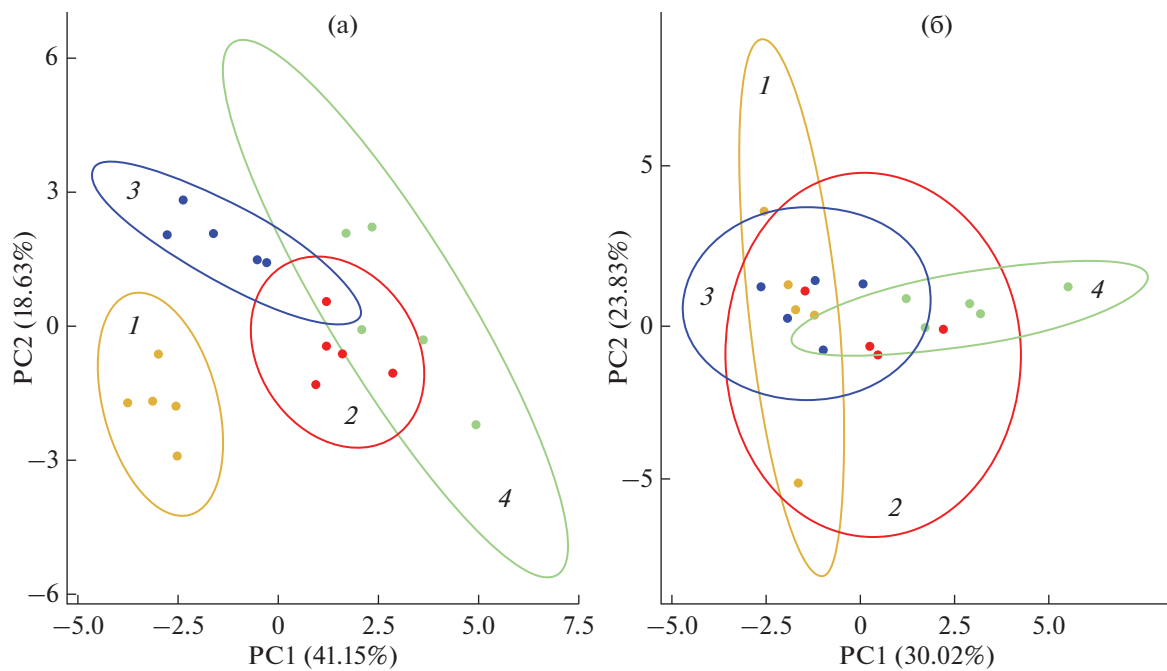


Рис. 5. Многофакторный анализ методом главных компонент (PCA) биохимических и физиологических параметров, участвующих в процессе адаптации растений *Chenopodium quinoa* и *Amaranthus retroflexus*, выращенных при разных концентрациях CO₂ и кратковременном действии повышенной температуры (35°C, eT). (1) Контрольные растения, выращенные при естественной (400 ppm) концентрации CO₂ (aCO₂); (2) растения, выращенные при aCO₂ и 4-дневном воздействии eT; (3) растения, выращенные при повышенной (800 ppm) концентрации CO₂ (eCO₂); (4) растения, выращенные при eCO₂ и 4-дневном воздействии eT (eCO₂ и eT).

ратуре РБФК/O-активаза может образовывать неактивные агрегаты, что приводит к замедлению активности карбоксилазной функции РБФК/O [8, 18]. Проведенный нами PCA-анализ морфо-физиологических и биохимических параметров *C. quinoa* подтвердил, что для данного C₃-вида значимыми параметрами в условиях повышенной температуры были показатели эффективности функционирования ФС II (рис. 5а; табл. 1). PCA-анализ C₄-вида *A. retroflexus* не выявил значимой реакции на температурное воздействие. Однако некоторые параметры при действии eT достоверно изменялись. Наблюдалось значительное снижение интенсивностей A и E, которые сопровождались признаками осмотического стресса, о чем свидетельствует значительное увеличение содержания пролина (рис. 1, 2).

Неоднозначность реакции C₃-растений на высокий уровень CO₂ может быть связана со сложным и комплексным характером воздействия eCO₂ на углеводный обмен растений. Так, eCO₂, снижая устьичную проводимость, влияет на динамику как углеродного, так и водного обмена растений. С одной стороны, низкие значения устьичной проводимости отрицательно действуют на интенсивность поступления CO₂ в растения, что частично компенсируется стимуляцией скорости карбоксилирования РБФК/O высоким содержа-

нием CO₂ [9, 37]. С другой стороны, они могут привести к значительной экономии воды в растениях, снижая уровень транспирации, что приводит к увеличению эффективности использования воды [6, 9]. В наших экспериментах у растений *C. quinoa* не наблюдалось возрастания WUE, вследствие снижения Е при действии eCO₂ (рис. 2). Для C₃-видов характерно подавление интенсивности фотодыхания высоким уровнем CO₂ за счет снижения оксигеназной функции РБФК/O [9]. При удвоении уровня CO₂ снижение фотодыхания может составить более ~50% [6]. В проведенных нами экспериментах снижение содержания ключевого фермента гликолатного фотодыхательного цикла ГДК у растений *C. quinoa* при действии eCO₂ составило 60% (рис. 4г). Проведенный нами PCA-анализ действия eCO₂ на параметры *C. quinoa* подтвердил, что для данного C₃-вида значимыми параметрами были содержание фермента ГДК и интенсивность транспирации (рис. 5а, табл. 1). Хотя PCA-анализ C₄-вида *A. retroflexus* не выявил значимой реакции на действие eCO₂, однако некоторые параметры у этого вида при eCO₂ достоверно изменялись. В частности, наблюдалось снижение интенсивностей A и E, что сопровождалось окислительным стрессом, наличие которого подтверждает 2-кратное увеличение содержания МДА и значительное увеличение диссипацион-

Таблица 1. Факторные нагрузки биохимических и физиологических параметров на главные компоненты (PC1 и PC2) многофакторного анализа (PCA) растений *Chenopodium quinoa* и *Amaranthus retroflexus*, выращенных при естественной (400 ppm) и повышенной (800 ppm) концентрациях СО₂ и кратковременном действии повышенной температуры (35°C)

Параметры	<i>C. quinoa</i>		<i>A. retroflexus</i>	
	PC1	PC2	PC1	PC2
Сухая биомасса	-0.198	0.052	-0.143	0.274
Содержание воды	0.255	-0.270	0.314	-0.085
Содержание пролина	-0.213	-0.143	0.308	-0.171
Содержание МДА	0.245	0.139	0.069	0.152
A	-0.265	0.325	0.049	0.496
Rd	-0.133	0.364	0.251	0.040
E	-0.223	0.375	0.029	0.467
WUE	-0.233	0.204	0.066	0.459
ФС I	-0.178	0.116	0.071	-0.147
F_v/F_m	-0.349	-0.203	-0.400	-0.118
F'_v/F'_m	-0.335	-0.236	-0.325	-0.187
$\Phi_{\text{ФСII}}$	-0.325	-0.122	-0.391	0.047
NPQ	-0.296	-0.054	-0.219	0.108
Содержание РБФК/О	-0.295	0.026	-0.324	-0.142
Содержание ФЕПк	-0.108	-0.374	0.330	-0.271
Содержание ГДК	-0.143	-0.442	-0.160	-0.108

Примечание. Полужирным шрифтом показаны наиболее значимые параметры. A – интенсивность видимого фотосинтеза; Rd – интенсивность темнового дыхания; E – интенсивность транспирации; WUE – эффективность использования воды; F_v/F_m – максимальный квантовый выход флуоресценции ФС II; F'_v/F'_m – максимальная квантовая эффективность фотохимии ФС II при заданной интенсивности света; $\Phi_{\text{ФСII}}$ – эффективный квантовый выход фотохимии ФС II при заданной интенсивности света; NPQ – нефотохимическое тушение.

ных дыхательных затрат в темновом митохондриальном дыхании (рис. 1г, 2в). Снижение E у C₄-растений при действии eCO₂ показано и другими авторами [11, 38]. О влиянии eCO₂ на активность, содержание и экспрессию генов РБФК/О у C₄-растений информация противоречивая: экспрессия может как снижаться [39], так и увеличиваться [38]. Это объясняется тем, что гены, кодирующие важные фотосинтетические ферменты, необходимые для эффективного функционирования C₄-фотосинтеза, роста биомассы и накопления сахарозы, по-разному регулируются в условиях eCO₂ и связано это с видоспецифичностью или с разновидностью C₄-пути и/или комбинированным воздействием высоких экологических нагрузок, сопровождающих eCO₂.

PCA-анализ морфофизиологических и биохимических параметров при совместном действии eCO₂ и eT продемонстрировал их значительные отличия по первой компоненте (PC1) от кон-

трольного варианта у обоих видов (рис. 5). Как у C₃-, так и у C₄-вида значимыми параметрами были показатели эффективности функционирования ФС II, а у *A. retroflexus* еще и содержание ФЕПк (рис. 5а, б; табл. 1). При этом у C₃-вида решающим фактором была eT, поскольку подобным образом растения реагировали на данный фактор в отдельности. Воздействие eCO₂ и совместное действие eCO₂ и eT одинаково негативно влияли на содержание у *C. quinoa* фотодыхательного фермента ГДК. Это согласуется с данными других авторов, показавших снижение фотодыхания в результате подавления eCO₂ функции окисгенации РБФК/О [6, 9]. Характерной особенностью совместного действия eCO₂ и eT на C₃-вид *C. quinoa* было снижение сухой биомассы, содержания воды в тканях и WUE (рис. 1, 2). Из работ других авторов следует, что *C. quinoa* проявляет очень разнообразную реакцию по перечисленным параметрам в зависимости от генотипа и фенологической стадии

[16]. О наличии окислительного стресса свидетельствует увеличение содержания МДА, а усиление темнового дыхания, вероятно, связано с его диссипационной и защитной функцией от окислительного стресса (рис. 1, 2). У C_4 -вида при совместном действии eCO_2 и eT возрастание содержания ФЕПк свидетельствует об усилении роли УКМ и, возможно, о рассогласовании функционирования цикла Кальвина и УКМ (рис. 4). Данные изменения фотосинтетических параметров сопровождались значительным возрастанием содержания пролина, связанным в основном с температурным фактором (рис. 1), и возрастанием содержания МДА, свидетельствующим об окислительном стрессе, связанным у данного C_4 -вида с eCO_2 (рис. 1). При совместном действии eCO_2 и eT у обоих видов наблюдалось снижение WUE, и в большей степени у C_3 -вида.

Итак, C_4 -вид *A. retroflexus*, по сравнению с C_3 -видом *C. quinoa*, продемонстрировал в контрольных условиях более высокие значения интенсивности фотосинтеза и транспирации, активности ФС I, а также низкое содержание пролина. На действие eT более сильно реагировал C_3 -вид, наблюдалось подавление световых реакций (ФС II), цикла Кальвина и фотодыхания. У C_4 -вида подавлялись интенсивность фотосинтеза и транспирации. Сильное возрастание пролина у *A. retroflexus* свидетельствует о тепловом стрессе. На действие eCO_2 C_3 -вид реагировал значительным снижением фотодыхания, а у C_4 -вида признаки окислительного стресса сопровождались подавлением интенсивности фотосинтеза, транспирации и возрастанием темнового дыхания, вероятно, связанного с диссипационной и защитной функцией. Смягчающий эффект eCO_2 на термоустойчивость C_3 - и C_4 -растений, показанный в ряде работ [2, 20–22], в наших экспериментах у растений *C. quinoa* и *A. retroflexus* не был установлен. Действие eT на C_3 -вид было главным повреждающим фактором, который при действии eCO_2 приводил еще к снижению роста и окислительному стрессу. У C_4 -вида *A. retroflexus* совместное действие eCO_2 и eT вызывало дополнительно возрастание содержания ключевого фермента УКМ – ФЕПк. А сочетание температурного стресса, вызванного eT , и окислительного стресса, вызванного eCO_2 , приводило к нарушению эффективности ФС II. Таким образом, C_3 -растения *C. quinoa* в стрессовых условиях проявили большую вариабельность фотосинтетического и устойчивого аппарата, а также способность к акклиматации фотосинтеза к повышенной температуре на уровне световых и темновых реакций, но слабую устойчивость к совместному действию eCO_2 и eT , тогда как C_4 -растения *A. retroflexus* продемонстрировали изначально большую адаптированность к теплой среде, за счет нали-

чия узкоспециального УКМ, а также стабильность ростовых параметров, однако у данного вида при совместном действии eCO_2 и eT помимо окислительного стресса наблюдались признаки теплового стресса. Тем не менее, на основании анализа первичной продуктивности изученных растений, можно предположить, что в условиях совместного действия eCO_2 и eT преимущество будут иметь C_4 -виды.

Работа выполнена при финансовой поддержке Российского научного фонда (проект № 23-24-00551).

Авторы заявляют об отсутствии конфликта интересов. Настоящая статья не содержит каких-либо исследований с участием людей и животных в качестве объектов исследований.

СПИСОК ЛИТЕРАТУРЫ

1. *Ain Q.T., Siddique K., Bawazeer S., Ali I., Mazhar M., Rasool R., Mubeen B., Ullah F., Unar A., Jafar T.H.* Adaptive mechanisms in quinoa for coping in stressful environments: an update // PeerJ. 2023. V. 11: e14832. <https://doi.org/10.7717/peerj.14832>
2. *Shanker A.K., Gunnapaneni D., Bhanu D., Vanaja M., Lakshmi N.J., Yadav S.K., Prabhakar M., Singh V.K.* Elevated CO_2 and water stress in combination in plants: Brothers in arms or partners in crime? // Biology. 2022. V. 11. P. 1330. <https://doi.org/10.3390/biology11091330>
3. *Cao Q., Li G., Liu F.* Elevated CO_2 enhanced water use efficiency of wheat to progressive drought stress but not on maize // Front. Plant Sci. 2022. V. 13. P. 953712. <https://doi.org/10.3389/fpls.2022.953712>
4. *Dusenge M.E., Duarte A.G., Way D.A.* Plant carbon metabolism and climate change: elevated CO_2 and temperature impacts on photosynthesis, photorespiration and respiration // New Phytol. 2019. V. 221. P. 32. <https://doi.org/10.1111/nph.15283>
5. *Yadav S., Elansary H.O., Mattar M.A., Elhindi M.K., Alotaibi A.M., Mishra A.* Differential accumulation of metabolites in *Suaeda* species provides new insights into abiotic stress tolerance in C_4 -halophytic species in elevated CO_2 conditions // Agronomy. 2021. V. 11. P. 131. <https://doi.org/10.3390/agronomy11010131>
6. *Xu Z., Jiang Y., Zhou G.* Response and adaptation of photosynthesis, respiration, and antioxidant systems to elevated CO_2 with environmental stress in plants // Front. Plant Sci. 2015. V. 6. P. 701. <https://doi.org/10.3389/fpls.2015.00701>
7. *Reich P.B., Hobbie S.E., Lee T.D., Pastore M.A.* Unexpected reversal of C_3 versus C_4 grass response to elevated CO_2 during a 20-year field experiment // Science. 2018. V. 360. P. 317. <https://doi.org/10.1126/science.aas9313>
8. *Lara M.V., Andreo C.S.* C_4 plants adaptation to high levels of CO_2 and to drought environments // Abiotic Stress in Plants-Mechanisms and Adaptations. Shanker, A., (Ed.). InTech: Hampshire, UK, 2011. P. 415. <https://doi.org/10.5772/24936>

9. *Zheng Y., Li F., Hao L., Yu J., Guo L., Zhou H., Ma C., Zhang X., Xu M.* Elevated CO₂ concentration induces photosynthetic down-regulation with changes in leaf structure, non-structural carbohydrates and nitrogen content of soybean // *BMC Plant Biol.* 2019. V. 19. P. 255. <https://doi.org/10.1186/s12870-019-1788-9>
10. *Jothiramshkar S., Benjamin J.J., Krishnasamy R., Pal A., George S., Swaminathan R., Parida A.* Responses of selected C₃ and C₄ halophytes to elevated CO₂ concentration under salinity // *Curr. Sci.* 2018. V. 115. P. 129. <https://doi.org/10.18520/cs/v115/i1/129-135>
11. *Faria A.P., Marabesi M.A., Gaspar M., França M.G.* The increase of current atmospheric CO₂ and temperature can benefit leaf gas exchanges, carbohydrate content and growth in C₄ grass invaders of the Cerrado biome // *Plant Physiol. Biochem.* 2018. V. 127. P. 608. <https://doi.org/10.1016/j.plaphy.2018.04.042>
12. *Wang M., Xie B., Fu Y., Dong C., Hui L., Guanghui L., Liu H.* Effects of different elevated CO₂ concentrations on chlorophyll contents, gas exchange, water use efficiency, and PSII activity on C₃ and C₄ cereal crops in a closed artificial ecosystem // *Photosynth. Res.* 2015. V. 126. P. 351. <https://doi.org/10.1007/s11120-015-0134-9>
13. *Boretti A., Florentine S.* Atmospheric CO₂ concentration and other limiting factors in the growth of C₃ and C₄ plants // *Plants.* 2019. V. 8. P. 92. <https://doi.org/10.3390/plants8040092>
14. *Prasch C.M., Sonnewald U.* Simultaneous application of heat, drought, and virus to *Arabidopsis* plants reveals significant shifts in signaling networks // *Plant Physiol.* 2013. V. 162. P. 1849. <https://doi.org/10.1104/pp.113.221044>
15. *Yamori W., Hikosaka K., Way D.A.* Temperature response of photosynthesis in C₃, C₄, and CAM plants: temperature acclimation and temperature adaptation // *Photosynth Res.* 2014. V. 119. P. 101. <https://doi.org/10.1007/s11120-013-9874-6>
16. *Hinojosa L., González J.A., Barrios-Masias F.H., Fuentes F., Murphy K.M.* Quinoa abiotic stress responses: A review // *Plants.* 2018. V. 7. P. 106. <https://doi.org/10.3390/plants7040106>
17. *Li G., Chen T., Feng B., Peng S., Tao L., Fu G.* Respiration, rather than photosynthesis, determines rice yield loss under moderate high-temperature conditions // *Front Plant Sci.* 2021. V. 12. P. 678653. <https://doi.org/10.3389/fpls.2021.678653>
18. *Sage R.F., Kubien D.K.* The temperature response of C₃ and C₄ photosynthesis // *Plant, Cell Environ.* 2007. V. 30. P. 1086. <https://doi.org/10.1111/j.1365-3040.2007.01682.x>
19. *Wang D., Heckathorn S.A., Barua D., Joshi P., Hamilton E.W., Lacroix J.J.* Effects of elevated CO₂ on the tolerance of photosynthesis to acute heat stress in C₃, C₄, and CAM species // *Am. J. Bot.* 2008. V. 95. P. 165. <https://doi.org/10.3732/ajb.95.2.165>
20. *Zinta G., AbdElgawad H., Domagalska M.A., Vergauwen L., Knopen D., Nijs I.* Physiological, biochemical, and genome-wide transcriptional analysis reveals that elevated CO₂ mitigates the impact of combined heat wave and drought stress in *Arabidopsis thaliana* at multiple organizational levels // *Glob. Chang. Biol.* 2014. V. 20. P. 3670. <https://doi.org/10.1111/gcb.12626>
21. *Zinta G., AbdElgawad H., Peshev D., Weedon J.T., Van den Ende W., Nijs I.* Dynamics of metabolic responses to periods of combined heat and drought in *Arabidopsis thaliana* under ambient and elevated atmospheric CO₂ // *J. Exp. Bot.* 2018. V. 69. P. 2159. <https://doi.org/10.1093/jxb/ery055>
22. *Zhou R., Yu X., Wen J., Jensen N.B., Dos Santos T.M., Wu Z., Rosenqvist E., Ottosen C.O.* Interactive effects of elevated CO₂ concentration and combined heat and drought stress on tomato photosynthesis // *BMC Plant Biol.* 2020. V. 20. P. 260. <https://doi.org/10.1186/s12870-020-02457-6>
23. *Arrivault S., Alexandre Moraes T., Obata T., Medeiros D.B., Fernie A.R., Boulouis A., Ludwig M., Lunn J.E., Borghi G.L., Schlereth A., Guenther M., Stitt M.* Metabolite profiles reveal interspecific variation in operation of the Calvin-Benson cycle in both C₄ and C₃ plants // *J. Exp. Bot.* 2019. V. 70. P. 1843. <https://doi.org/10.1093/jxb/erz051>
24. *Yu J., Li R., Fan N., Yang Z., Huang B.* Metabolic pathways involved in carbon dioxide enhanced heat tolerance in bermudagrass // *Front. Plant Sci.* 2017. V. 8. P. 1506. <https://doi.org/10.3389/fpls.2017.01506>
25. *Bordignon L., Faria A.P., França M.G.C., Fernandes G.W.* Osmotic stress at membrane level and photosystem II activity in two C₄ plants after growth in elevated CO₂ and temperature // *Ann. Appl. Biol.* 2019. V. 174. P. 113. <https://doi.org/10.1111/aab.12483>
26. *Jeong H.M., Kim H.R., Hong S., You Y.H.* Effects of elevated CO₂ concentration and increased temperature on leaf quality responses of rare and endangered plants // *J. Ecol. Environ.* 2018. V. 42. <https://doi.org/10.1186/s41610-017-0061-0>
27. *Kirschbaum M.U.F., McMillan A.M.S.* Warming and elevated CO₂ have opposing influences on transpiration. Which is more important? // *Curr. Forestry Rep.* 2018. V. 4. P. 51. <https://doi.org/10.1007/s40725-018-0073-8>
28. *Wei Z., Abdelhakim L., Fang L., Peng X., Liu J., Liu F.* Elevated CO₂ effect on the response of stomatal control and water use efficiency in amaranth and maize plants to progressive drought stress // *Agric. Water Manage.* 2022. V. 266. <https://doi.org/10.1016/j.agwat.2022.107609>
29. *Schafleitner R., Lin Y.-P., Dinssa F., N'Danikou S., Finkers R., Ninja R., Abukutsa-Onyango M., Nyonje W., Lin C.-Y., Wu T.-H., Sigalla J.P., van Zonneveld M., Hsiao Y.-Y., Kumar S., Wu W.-J., et al.* The World Vegetable Center *Amaranthus* germplasm collection: Core collection development and evaluation of agronomic and nutritional traits // *Crop Sci.* 2022. V. 62. P. 1173. <https://doi.org/10.1002/csc2.20715>
30. *Bates L.S., Waldren R.P., Teare I.D.* Rapid determination of free proline for water stress studies // *Plant Soil.* 1973. V. 39. P. 205. <https://doi.org/10.1007/BF00018060>
31. *Heath R.L., Packer L.* Photoperoxidation in isolated chloroplasts // *Arch. Biochem. Biophys.* 1968, V. 125. P. 180. [https://doi.org/10.1016/0003-9861\(68\)90654-1](https://doi.org/10.1016/0003-9861(68)90654-1)

32. *Shuyskaya E., Rakhmankulova Z., Prokofieva M., Saidova L., Toderich K., Voronin P.* Intensity and duration of salinity required to form adaptive response in C₄ halophyte *Kochia prostrata* (L.) Shrad. // *Front. Plant Sci.* 2022. V. 13. <https://doi.org/10.3389/fpls.2022.955880>
33. *Nakamura N., Iwano M., Havaux M., Yokota A., Munekage Y.N.* Promotion of cyclic electron transport around photosystem I during the evolution of NADP-malic enzyme-type C₄ photosynthesis in the genus *Flaveria* // *New Phytol.* 2013. V. 199. P. 832. <https://doi.org/10.1111/nph.12296>
34. *Yadav S., Mishra A.* Ectopic expression of C₄ photosynthetic pathway genes improves carbon assimilation and alleviate stress tolerance for future climate change // *Physiol. Mol. Biol. Plants.* 2020. V. 26. P. 195. <https://doi.org/10.1007/s12298-019-00751-8>
35. *Crafts-Brandner S.J., Salvucci M.E.* Sensitivity of photosynthesis in a C₄ plant, maize, to heat stress // *Plant Physiol.* 2002. V. 129. P. 1773. <https://doi.org/10.1104/pp.002170>
36. *Heckathorn S.A., Ryan S.L., Baylis J.A., Wang J.A., Hamilton E.W., Cundiff L.* In vivo evidence from an *Agrostis stolonifera* selection genotype that chloroplast small heat-shock proteins can protect photosystem II during heat stress // *Funct. Plant Biol.* 2002. V. 29. P. 933. <https://doi.org/10.1071/PP01191>
37. *Singh S.K., Reddy V.R.* Methods of mesophyll conductance estimation: its impact on key biochemical parameters and photosynthetic limitations in phosphorus stressed soybean across CO₂ // *Physiol. Plant.* 2016. V. 157. P. 234. <https://doi.org/10.1111/ppl.12415>
38. *Souza A.P., Gaspar M., Silva E.A., Ulian E.C., Wacławowsky A.J., Nishiyama M.Y. Jr., Santos R.V., Teixeira M.M., Souza G.M., Buckeridge M.S.* Elevated CO₂ increases photosynthesis, biomass and productivity, and modifies gene expression in sugarcane // *Plant Cell Environ.* 2008. V. 31. P. 1116. <https://doi.org/10.1111/j.1365-3040.2008.01822.x>
39. *Huang Y., Fang R., Li Y., Liu X., Wang G., Yin K., Jin J., Herbert S.J.* Warming and elevated CO₂ alter the transcriptomic response of maize (*Zea mays* L.) at the silking stage // *Sci. Rep.* 2019. V. 9. P. 17948. <https://doi.org/10.1038/s41598-019-54325-5>